

## วิธีอ่าย่างง่ายสำหรับประมาณหาค่าความถี่ตามธรรมชาติที่สูงขึ้นไปของเพลาสั่น

### Simplified Method for Approximating Higher Natural Frequencies of Vibrating Shafts

มิ่ง โลกิตะแสงทอง

ภาควิชาวิศวกรรมเครื่องกล คณะวิศวกรรมศาสตร์ สถาบันเทคโนโลยีพระจอมเกล้าเจ้าคุณทหารลาดกระบัง  
ถนนสหชัยฯ เขตสาทร กรุงเทพฯ 10520

#### บทคัดย่อ

ความถี่ตามธรรมชาติของเพลาสั่นสามารถหาได้โดยวิธีการพิชณ์ตอย่างง่ายๆ ซึ่งไม่ต้องอาศัยการคำนวณอย่างยุ่งยากจากสมการเมตริกซ์ นับจากอดีตจนถึงปัจจุบันได้มีการนำเสนอสมการ Dunkerley ซึ่งเป็นที่รู้จักกันดีมาใช้ในการหาความถี่ตามธรรมชาติอันดับต้นๆ ฐาน อย่างถูกต้องแม่นยำดี โดยเฉพาะอย่างยิ่งเมื่อพิจารณาปัญหาของเพลาที่สั่นซึ่งตัดต่อ หลักการของสมการนี้ได้ถูกนำมาตัดแบ่งให้ในที่นี่เพื่อนำไปสู่วิธีการใหม่ในการหาความถี่ตามธรรมชาติอันดับที่สูงขึ้นไป นอก จากนั้นในที่นี้ยังได้แสดงการแก้ปัญหาของคานที่รองรับอย่างธรรมดายังมีก้อนมวลสองก้อนวางห่างเท่าๆ กันเพื่อสาธิตให้เห็นความหวังผลของวิธีการนี้

#### Abstract

Without resorting to a cumbersome mathematical manipulation of a matrix, the natural frequencies of a vibrating shaft can be evaluated by means of a simple algebraic procedure. Hitherto the well-known Dunkerley equation has been employed to find the fundamental natural frequency with good accuracy especially when one is dealing with the problem of flexural vibrating shaft. The principle behind this equation has been adopted here to extend the procedure to find all the higher natural frequencies. The validity of the procedure has been demonstrated with a problem of a simply supported beam with equally spaced lumped masses.

#### 1. บทนำ

องศาของความอิสระ(DOF)ของระบบมีค่าเท่ากันจำนวนพิจัด อิสระที่จำเป็นต้องใช้ในการอธิบายการเคลื่อนที่ของระบบ ระบบใดที่มีองศาของความอิสระ  $g$  จะมีความถี่ตามธรรมชาติ  $g$  ตัว

ดังแม้ว่าทฤษฎีการสั่นสะเทือนสำหรับระบบแบบหลายองศาของความอิสระ(MDOF)สามารถแสดงให้เห็นได้จากรูปแบบแบบสองของทางความอิสระ [1]ปัญหาของการหาผลลัพธ์เชิงตัวเลขสำหรับระบบแบบหลายองศาของความอิสระจะต้องได้รับการพิจารณาเป็นพิเศษ

เพราะว่าการพัฒนาอย่างรวดเร็วของเครื่องคอมพิวเตอร์ความเร็วสูงในปัจจุบันทำให้ต้องหาวิธีการการคำนวณใหม่ๆ ซึ่งให้ผลเป็นที่น่าพอใจในการสร้างสมการสำหรับการคำนวณเชิงตัวเลขในรูปของเมตริกซ์และแทนเชอร์จจะเป็นวิธีหนึ่งที่ให้ประโยชน์อย่างมากสำหรับการวิเคราะห์เชิงตัวเลข

ในปัญหาการสั่นสะเทือนแบบดั้งเดิมของเพลาที่มีพุทธิกรรมอย่างอิสระติดกับมาร์กแก๊ดโดยพิจารณาเพลาอยู่ในรูปของคานมีรูนรอบบ่วงตามความเหมาะสม[2] และมีก้อนมวลติดอยู่ การวิเคราะห์หรือคำนวณอย่างละเอียดมักจะสิ้นเปลืองแรงงานอย่างมาก จึงจำเป็นต้องหันมาอาศัยการคำนวณโดยประมาณ วิธีการของ Dunkerley[3] เป็นวิธีการหนึ่งดังกล่าวในการหาความถี่ตามธรรมชาติขั้นพื้นฐานของระบบสั่นสะเทือน สำหรับ ความถี่ตามธรรมชาติขั้นสูงขึ้นไปก็สามารถหาได้อย่างง่ายเช่นกัน

#### 2. สัญลักษณ์

$a_{ij}$  : flexibility influence coefficient

$E$  : modulus of elasticity

$F_i$  : แรงกระดับที่จุด  $i$

$I$  : โมเมนต์เชิงพื้นที่ของความเฉื่อย

$k_{ij}$  : stiffness influence coefficient

$l$  : ระยะห่างระหว่างก้อนมวล

$L$  : ความยาวของคาน

$m_i$  : ก้อนมวลที่จุด  $i$

$P$  : แรงกระทำบนคาน

$y_i$  : ระยะโถงของคานที่จุด  $i$

$\gamma_{ij}$  : flexibility tensor

$\delta_{ij}$  : Kronecker delta

$\lambda$  : eigen value

$\phi_i$  : แรงกระดับและแรงเฉื่อยบนมวล  $m_i$

$\omega$  : ความถี่ตามธรรมชาติเชิงวงกลม

## กลุ่มไวรัมิ

$$\omega \left( \frac{mL^3}{EI} \right)^{1/2} : \text{ความถี่ไวรัมิ}$$

### 3. การคำนวณหาความถี่ตามธรรมชาติอย่างละเอียดถูกต้อง

#### 3.1 สมการของ การเคลื่อนที่

$$\phi_i = k_{ij} y_j \quad (1)$$

$$y_i = a_{ij} \phi_j \quad (2)$$

ในสมการ(1)  $k_{ij}$  คือแรงที่เกิดขึ้นที่จุด  $i$  เนื่องจากการงัดหนึ่งหน่วยที่  $j$  เมื่อมวลตัวนี้ยืดໄว้กันที่ และในสมการ(2)  $a_{ij}$  คือการงัดที่เกิดขึ้นที่จุด  $i$  เนื่องจากแรงหนึ่งหน่วยกระทำที่  $j$  เมื่อมีแรงกระทำที่จุดอื่นๆ

เมื่อการสั่นสะเทือนเป็นแบบอิสระจะได้  $\ddot{\phi}_i = -m_j y_j \delta_{ij}$  และการสั่นสะเทือนเป็นแบบบังคับ จะได้  $\ddot{\phi}_i = F_i - m_j y_j \delta_{ij}$

สำหรับการสั่นสะเทือนในโหมดปกติหรือโหมดหลัก จะเป็นแบบอาร์โนนิกซึ่งจะให้ผลเป็น

$$\omega^2 m_i y_i \delta_{ij} = -m_j y_j \delta_{ij} \quad (3)$$

#### 3.2 สมการ characteristic

เมื่อแทนค่าสมการ(3)ลงมาในสมการ(2)จะได้สมการ characteristic อยู่ในรูป

$$|\gamma_{ij} - \lambda \delta_{ij}| = 0 \quad (4)$$

เมื่อ  $\gamma_{ij} = a_{ik} m_k \delta_{kj}$  และ eigenvalue  $\lambda = 1/\omega^2$

#### 4. การคำนวณหาความถี่ตามธรรมชาติอย่างประมาณ

สำหรับระบบที่ประกอบด้วยองค์ของความอิสระ  $n$  สมการ characteristic สามารถถะร่ายพจน์ออกมาได้เป็น

$$(-1)^{n-1} \lambda^n + (-1)^{n-2} \lambda^{n-1} I_1 + (-1)^{n-3} \lambda^{n-2} I_2 + (-1)^{n-4} \lambda^{n-3} I_3 + \dots + \lambda I_{n-1} - I_n = 0 \quad (5)$$

เมื่อ

$$I_1 = \gamma_{ii}$$

$$I_2 = 1/2(\gamma_{ii}\gamma_{jj} - \gamma_{ij}\gamma_{ji})$$

$$I_3 = 1/6(\gamma_{ii}\gamma_{jj}\gamma_{kk} - 3\gamma_{ii}\gamma_{jk}\gamma_{jk} + \gamma_{ij}\gamma_{jk}\gamma_{ki})$$

$I_i$  เรียกว่า invariants[5]  $I_2$  ถึง  $I_n$  จะเป็น determinant ของเมตริกซ์  $2 \times 2$  ถึง  $n \times n$  ตามลำดับ ของ  $\gamma_{ij}$  แต่ละพจน์จะกระจายตามหลัก tensor calculus จนถึงองค์ของความอิสระสูงสุดของระบบ ถ้า  $\lambda_i$  เมื่อ  $1 \leq i \leq n$  เป็นรากของสมการ characteristic ดังนั้นจึงเขียนให้อยู่ในรูปสมการ ต่อไปนี้ได้

$$(\lambda - \lambda_1)(\lambda - \lambda_2)(\lambda - \lambda_3) \dots (\lambda - \lambda_{n-1})(\lambda - \lambda_n) = 0$$

หรือ

$$(-1)^{n-1} \lambda^n + (-1)^{n-2} \lambda^{n-1} \Sigma(\lambda_j) + (-1)^{n-3} \lambda^{n-2} \Sigma(\lambda_i \lambda_j) + (-1)^{n-4} \lambda^{n-3} \Sigma(\lambda_i \lambda_j \lambda_k) + \dots + \lambda I_{n-1} - I_n = 0 \quad (6)$$

เมื่อเบรียบเทียบสัมประสิทธิ์ของสมการ(5)และ(6)จะได้ว่า  
(ก) พจน์ที่สอง

$$\sum \lambda_i = I_1 \quad (7)$$

สมการ(7)จะสอดคล้องกับทฤษฎีพิชิต[1]ที่กล่าวว่าถ้าสัมประสิทธิ์ของพจน์ที่สูงสุด ของสมการไปสู่ในเมียลตุกอลลงจนเป็นหนึ่งแล้ว สัมประสิทธิ์ของพจน์ที่สูงเป็นอันดับสองจะเท่ากับผลบวกของรากของสมการ แต่เนื่องจากจากค่าความถี่ที่สูงกว่าอันดับแรกจะมีค่าสูงขึ้นตามลำดับ เพราะฉะนั้น  $\lambda_i$  สำหรับ  $2 \leq i \leq n$  ก็จะมีค่าลดลง ผลที่ได้คือ

$$\lambda_1 = \frac{1}{\omega_1^2} \cong I_1 \quad (8)$$

สมการ(8)คือสมการของDunkerley[3] เพื่อประมาณค่าความถี่ตามธรรมชาติอันดับแรก

(ข) พจน์ที่สามถึงพจน์ที่  $n$

$$\sum \left[ \prod_{i=1}^2 \lambda_i \right] = I_2 \quad (9)$$

แต่เนื่องจากจากค่าความถี่ที่สูงกว่าอันดับสองจะมีค่าสูงขึ้นตามลำดับ เพราะฉะนั้น  $\lambda_i$  สำหรับ  $3 \leq i \leq n$  ก็จะมีค่าลดลง ผลที่ได้คือ

$$\prod_{i=1}^2 \lambda_i = \frac{1}{\omega_1^2} \frac{1}{\omega_2^2} \cong I_2 \quad (10)$$

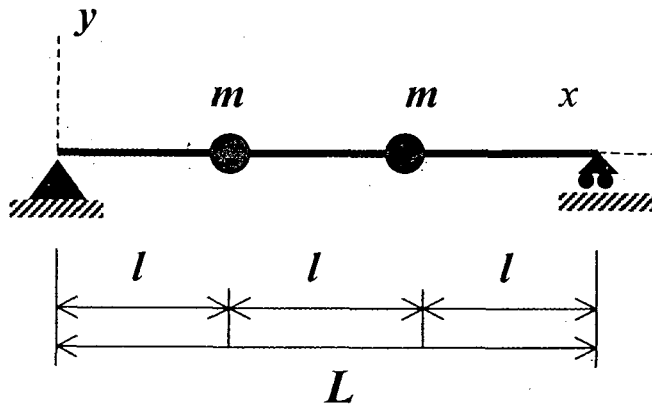
ในท่านองเดียวกัน สามารถสรุปได้ว่า สำหรับความถี่  $m$  ได้  $2 \leq m \leq n$  จะได้

$$\prod_{i=1}^m \lambda_i \cong I_m \quad (11)$$

สมการ(11)จะสอดคล้องกับทฤษฎีพิชคณิต[2]ที่กล่าวว่าถ้าสัมประสิทธิ์ของพจน์ที่สูงสุด ของสมการโอลิโนเมียลถูกลดลงจนเป็นหนึ่งแล้วพจน์ที่เป็นค่าคงที่จะเท่ากับผลคูณของรากของสมการ

## 5. ตัวอย่างการคำนวณ

### 5.1 วิธีละเอียดถูกต้อง



รูปที่ 1 คานรองรับอย่างธรรมดាដาระมั่นมวล

พิจารณาการสั่นสะเทือนแบบอิสระของคานความยาว  $L$  ซึ่งรองรับอย่างธรรมดามีมวล  $m$  สองก้อนวางห่างกันเท่ากับ  $l$  ดังในรูปที่ 1 และสัมประสิทธิ์  $a_{ij}$  สามารถหาจากสมการระยະโก่งงอ(12)และ(13) ซึ่งได้จากการอินทิเกรตโดยตรง[4] เมื่อแรง  $P$  กระทำบนคานอยู่ที่จุดหัวจากปลายด้านซ้ายและด้านขวาเท่ากับ  $a$  และ  $b$  ตามลำดับ เมื่อ  $0 \leq x \leq a$

$$y = \frac{Pb}{EIL} \frac{x^3}{6} - \frac{Pb}{6EIL} (L^2 - b^2)x \quad (12)$$

เมื่อ  $a \leq x \leq L$

$$y = \frac{Pa}{EI} \frac{x^2}{2} - \frac{Pa}{EIL} \frac{x^3}{6} - \frac{Pa}{6EIL} (2L^2 + a^2)x + \frac{Pa^3}{6EI} \quad (13)$$

สำหรับคานอันนี้สมการ(4)เขียนได้ในรูป determinant ของเมตริกส์เป็น

$$\begin{vmatrix} \frac{4}{9} \frac{ml^3}{EI} - \lambda & \frac{7}{18} \frac{ml^3}{EI} \\ \frac{7}{18} \frac{ml^3}{EI} & \frac{4}{9} \frac{ml^3}{EI} - \lambda \end{vmatrix} = 0$$

$$\lambda^2 - \frac{8}{9} \frac{ml^3}{EI} \lambda + \frac{5}{108} \frac{m^2 l^6}{E^2 I^2} = 0 \quad (14)$$

เมื่อแก้สมการ(14)แล้วความถี่ตามธรรมชาติในรูปไว้มิติ  $\omega \left( \frac{mL^3}{EI} \right)^{1/2}$  อันดับที่หนึ่งและสองจะได้เป็น 5.6919 และ 22.0452 ตามลำดับ

### 5.2 วิธีประมาณ

สำหรับคานที่พิจารณาอยู่จะได้

$$\frac{1}{\omega_1^2} \cong \gamma_{11} + \gamma_{22} = \frac{8}{9} \frac{ml^3}{EI}$$

หรือ

$$\omega_1 \left( \frac{mL^3}{EI} \right)^{1/2} = 5.5114$$

และ

$$\frac{1}{\omega_1^2} \frac{1}{\omega_2^2} \cong \gamma_{11} \gamma_{22} + \gamma_{12} \gamma_{21} = \frac{15}{324} \left( \frac{ml^3}{EI} \right)^2$$

$$\omega_1 \left( \frac{mL^3}{EI} \right)^{1/2} = 22.7684$$

ค่าที่ได้จากวิธีละเอียดถูกต้องและวิธีประมาณได้เปรียบเทียบไว้ในตารางที่ 1

ตารางที่ 1 การเปรียบเทียบค่าความถี่ตามธรรมชาติ

ความ ถี่ อันดับ ที่	$\omega(mL^3/EI)^{1/2}$		
	ค่าละเอียด สมการ(14)	ค่าประมาณ สมการ(11)	ร้อยละของ ความผิด พลาด
1	5.6919	5.5114	-3.17
2	22.0452	22.7684	3.28

$$\text{ร้อยละของความผิดพลาด} = \frac{\text{ค่าประมาณ}-\text{ค่าละเอียดถูกต้อง}}{\text{ค่าละเอียดถูกต้อง}} \times 100$$

### ๖. บทจารณ์และสรุป

จะเห็นว่าขั้นตอนการคำนวณหาความถี่ตามธรรมชาติอย่างละเอียดถูกต้องในสมการ(4) และอย่างประมาณในสมการ(8)และ(11). มีขั้นตอนในการคำนวนที่รวดเร็วแตกต่างกันมาก สมการ(4)จะต้องแก้สมการไปสู่เมื่อผลันดับที่  $k$  หรือใช้วิธีiterationเมทริกซ์ซึ่งใช้เวลามาก แต่สมการ(8)และ(11)สามารถหาความถี่อันดับที่  $k$  ออกมายได้ในขั้นตอนเดียว เมื่อทราบค่าของความถี่อันดับที่หนึ่งถึง  $m-1$ .

การหาค่า eigenvalues สำหรับอันดับที่สูงขึ้นได้ สามารถทำได้โดยง่ายเมื่อคำนวนจากสมการที่เขียนอยู่ในรูปเกนเซอร์ การกระจายพจน์ ทำได้อย่างรวดเร็ว สำหรับคำนวนรับอย่างธรรมชาติซึ่งมีก้อนมวลสอง ก้อนวางหางเท่ากัน จะมีค่าของความถี่พิเศษของความถี่ประมาณข้อยละ 3 ดังแสดงผลไว้ในตารางที่ 1 ซึ่งก็เป็นค่าที่ยอมรับได้ ด้วยการปรับปรุงสมการ(8)และ(11)ให้เหมาะสมขึ้นคาดว่าค่าพิเศษนี้จะลดน้อยลง นอกเหนือนั้น การเขียนสมการในรูปนี้ยังหมายที่จะใช้กับเครื่องคอมพิวเตอร์ด้วย

### เอกสารอ้างอิง

1. Thomson, W.T., "Vibration Theory and Applications," Prentice-Hall, 1973.
2. Dimarogonas, A.D., and Paipetis, S.A., "Analytical Methods in Rotor Dynamics," Applied Science, 1983.
3. Dunkerley, S., "On the Whirling and Vibration of Shafts," Phil. Trans. Roy. Soc. A. vol.185, 1895, pp.269-360.
4. Popov, E. P., "Mechanics of Materials," 2nd Ed., Prentice-Hall, 1981.
5. Chung, T.J., "Continuum Mechanics," Prentice-Hall, 1988.